

# Report10

PB20020480 王润泽

## 1. Question

Monte Carlo 方法研究二维平面上荷电粒子在正弦外电场( $\sim \sin\omega t$ )中的随机行走。推导速度自相关函数的表达式。它随时间的变化是怎样的行为? 能否模拟得到该自相关函数的曲线? 是的话与理论曲线进行比较, 否的话讨论理由

## 2. Algorithm

### 2.1 速度自相关函数

由于题目未给定电场方向, 不妨假设电场沿着x方向, 那么可以类比Langevin方程得到

$$\frac{dv_x}{dt} = -\frac{1}{\tau}v_x + A_x(t) + B\sin(\omega t) \quad (1)$$

$$\frac{dv_y}{dt} = -\frac{1}{\tau}v_y + A_y(t) \quad (2)$$

与讲义一致 $\tau = \frac{m}{6\pi\eta a}$ ,  $\mathbf{A}$ 代表了一种涨落力, 满足

$$\begin{aligned}\langle \mathbf{A}(t) \rangle &= 0 \\ \langle \mathbf{A}(t) \cdot \mathbf{A}(0) \rangle &= D\delta(t)\end{aligned}$$

由 (1) (2) 式, 解出微分方程

$$\begin{aligned}v_x(t) &= v_x(0)e^{-t/\tau} + e^{-t/\tau} \int_0^t e^{t'/\tau} [A_x(t') + B\sin(\omega t')] dt' \\ v_y(t) &= v_y(0)e^{-t/\tau} + e^{-t/\tau} \int_0^t e^{t'/\tau} A_y(t') dt'\end{aligned}$$

以下公式默认  $\langle \mathbf{r} \rangle = \langle \mathbf{v} \rangle = 0$

由于是二维平面, 所以距离平方的期望是

$$\langle \mathbf{r}^2(t) \rangle = 4Dt$$

这样根据定义, 二维速度自相关函数为

$$\begin{aligned}C(t) &= \frac{1}{2} \langle \mathbf{v}(t) \cdot \mathbf{v}(0) \rangle = \frac{1}{2} \langle v_x(t)v_x(0) \rangle + \frac{1}{2} \langle v_y(t)v_y(0) \rangle \\ \langle v_x(t)v_x(0) \rangle &= \langle v_x^2(0) \rangle e^{-t/\tau} + e^{-t/\tau} \int_0^t e^{t'/\tau} [\langle v_x(0)A_x(t') \rangle + \langle v_x(0)B\sin(\omega t') \rangle] dt' \\ \langle v_y(t)v_y(0) \rangle &= \langle v_y^2(0) \rangle e^{-t/\tau} + e^{-t/\tau} \int_0^t [e^{t'/\tau} \langle v_y(0)A_y(t') \rangle] dt'\end{aligned}$$

很显然,  $\mathbf{A}$ 作为随机力, 与速度  $\mathbf{v}$ 无关, 同时  $\langle A \rangle = 0$

所以可以推导出二维速度自相关函数的表达式为:

$$\begin{aligned}
C(t) &= \frac{1}{2} \langle v_x(t)v_x(0) \rangle + \frac{1}{2} \langle v_y(t)v_y(0) \rangle \\
&= \frac{1}{2} (\langle v_x^2(0) \rangle + \langle v_y^2(0) \rangle) e^{-t/\tau} \\
&= \frac{\langle \mathbf{v}^2(0) \rangle}{2} e^{-t/\tau}
\end{aligned} \tag{3}$$

注： $v_x(0)$ 与 $v_y(0)$ 在初态应该属于相同的均匀分布

速度自相关系数的变化符合e指数衰减，与外界作用力本身无关。

## 2.2 模拟验证的算法

### 2.2.1 数值公式

为了验证理论的可靠性，得用数值计算模拟出粒子速度随时间的方程  $\mathbf{v}(t)$

仍然根据 (1) (2) 所得的Langevin方程

$$\begin{aligned}
\frac{dv_x}{dt} &= -\frac{1}{\tau} v_x + A_x(t) + B \sin(\omega t) \\
\frac{dv_y}{dy} &= -\frac{1}{\tau} v_y + A_y(t)
\end{aligned}$$

为了计算微分方程，采取微分近似为差分的思想，采用 Euler-梯形公式 得，其中时间间隔  $h = t_{n+1} - t_n$

$$v_{x,n+1} = v_{x,n} + h \left[ -\frac{1}{\tau} v_{x,n} + A_x(t_n) + B \sin(\omega t_n) \right] \tag{4}$$

$$v_{y,n+1} = v_{y,n} + h \left[ -\frac{1}{\tau} v_{y,n} + A_y(t_n) \right] \tag{5}$$

得到 数值方程解：

$$v_{x,n+1} = \left( -\frac{h}{\tau} + 1 \right) v_{x,n} + h [A_x(t_n) + B \sin(\omega t_n)] \tag{6}$$

$$v_{y,n+1} = \left( -\frac{h}{\tau} + 1 \right) v_{y,n} + h [A_y(t_n)] \tag{7}$$

### 2.2.2 参数选择

1. 对于  $\tau = \frac{m}{6\pi\eta a} = \frac{mD}{kT}$ ，由于不知道粘滞阻力等具体数值，编程中设置为5，保证粒子的一定随机性，而不至于导致速度快速减小到0附近，只有电场的周期震荡。

$$\tau = 5$$

2. 对于指数衰减来说，总时间取  $T = 10\tau$  较为合适，此时指数已衰减到很小
3. 对于布朗运动来说，无论时间间隔  $h$  取的多么小，都不会影响整体运动轨迹，不妨为了方便采样取

$$h = \tau/1000$$

4. 对于电磁场周期频率，为了让实验符合正常观察情况，至少应该确保在总时间T内有多个个周期的电磁场作用力被观测到，取

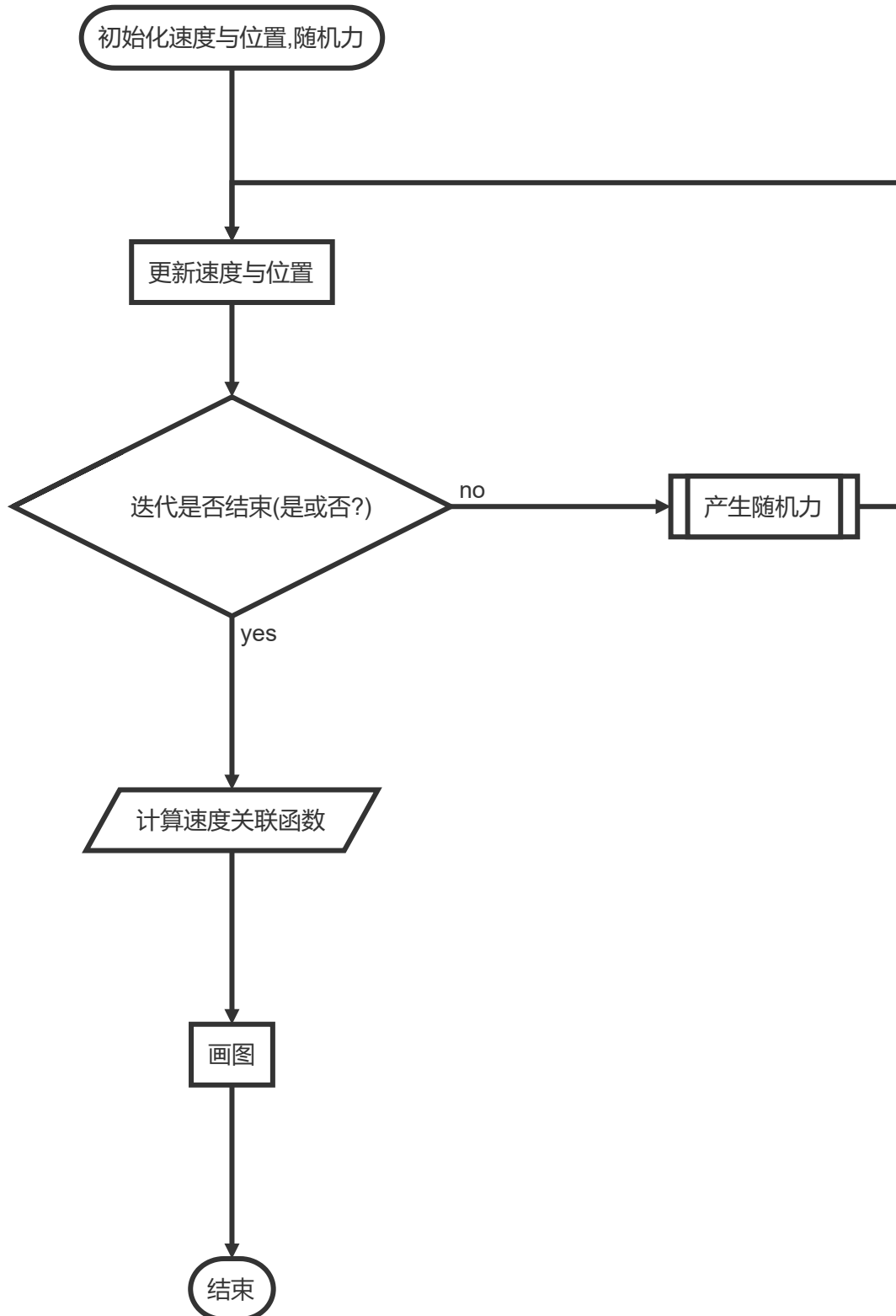
$$\omega = 2\pi$$

5. 为了保证结果的准确性，在数值计算平均值式，应当取以在相同时刻t取100次，以平均作为检验统计量来表示  $\langle \mathbf{v}(t) \cdot \mathbf{v}(0) \rangle$

6. 在实际情况中，一般**随机力应该小于电磁作用力**，故我选择以下表达式  $B = 20A$ ，然而由于统计检验精度有限，对于  $\mathbf{v}(0) \in [-1, 1]$  内， $\langle \mathbf{v}(0) \rangle \approx 0.01$ ，故选择作用力时大小范围应当合适，所以有

$$A_{max} = 0.05$$
$$B \sin(\omega t) = \sin(2\pi t)$$

### 2.2.3 流程图



## 3. Experiment

### 3.1 粒子随机游走图像

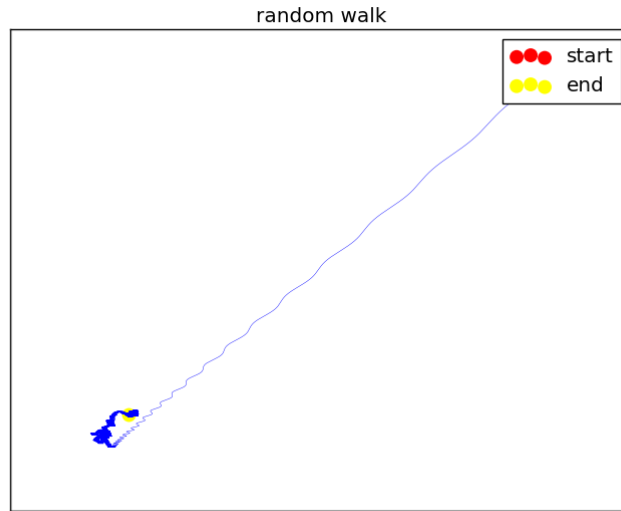


图1：在强电场中粒子随机游走  
得到如上图像

**\*\*解释\*\***：一开始速度比较大，而随机力比较小，所以随机游走不明显，呈直线行走状态；但是随着时间增长，由于阻力的作用的效果，使得速度逐渐降下来，导致粒子做衰减的简谐振动，同时Y方向仍然有一定的随机性。

### 3.2 速度相关函数

按照之前的推导得到的(3)式，为理论的速度相关系数

$$C_1(t) = \frac{\langle \mathbf{v}^2(0) \rangle}{2} e^{-t/\tau} \quad (8)$$

实验模拟所得速度相关函数，采用速度相关系数的定义式

$$C_2(t) = \frac{1}{2} \langle \mathbf{v}(t) \cdot \mathbf{v}(0) \rangle = \frac{1}{2} \langle v_x(t) v_x(0) \rangle + \frac{1}{2} \langle v_y(t) v_y(0) \rangle \quad (9)$$

实验与理论比较得下图

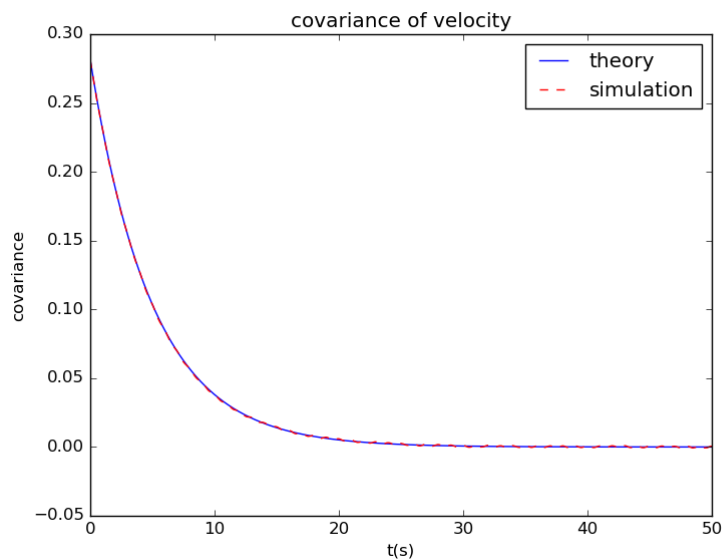


图2：在强电场中，速度相关系数理论与模拟图像

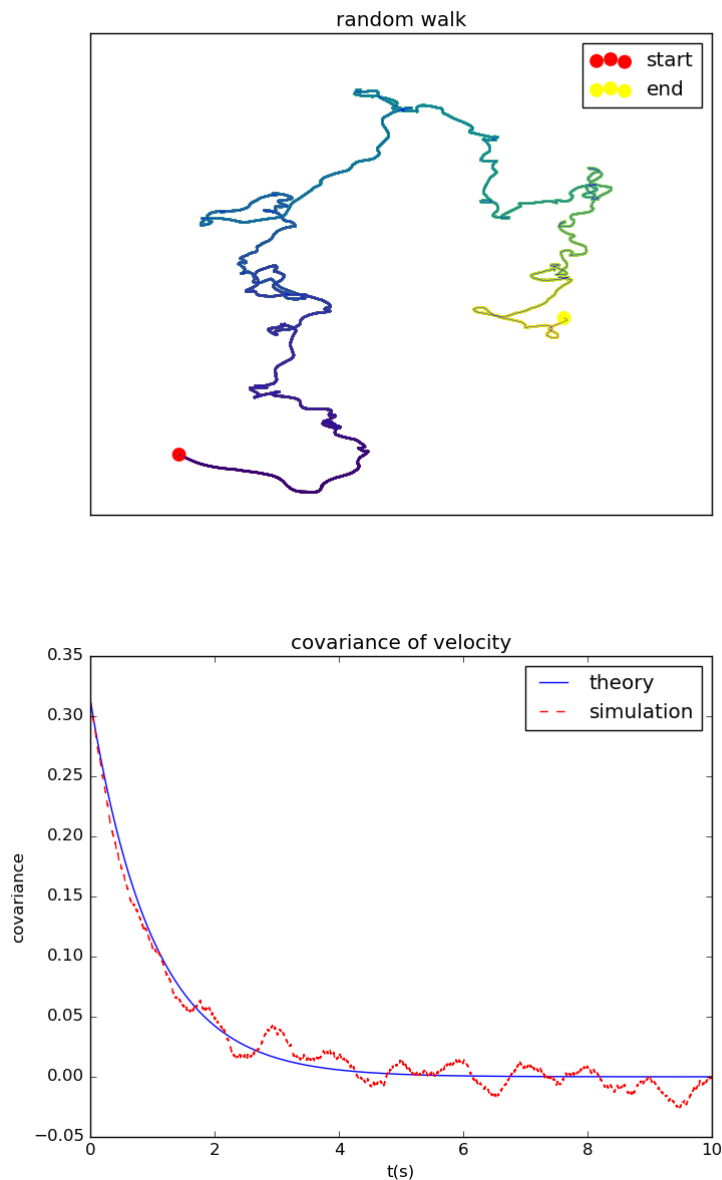
图中尾处有一定的波动情况，这是由于初始速度平均值  $\langle \mathbf{v}(0) \rangle$  并不精准为0导致的。但在误差涨落允许范围内可以看到，图像的整体趋势实验模拟与理论吻合较好，即速度自相关函数确实为

$$C(t) = \frac{\langle \mathbf{v}^2(0) \rangle}{2} e^{-t/\tau}$$

### 3.3 调整随机力大小和粘滞阻力

加大粘滞阻力与随机力

$$\begin{aligned}\tau &= 1 \\ A_{max} &= 10 \\ B \sin(wt) &= \sin(2\pi t)\end{aligned}$$



由图像可见，当加大随机力后，图像更加接近随机游走，局部有微小的振动；而由于粘滞阻力的作用，粒子相关系数仍然会逐渐收敛到0，但由于实验模拟精度有限，右图像末端会有一些涨落，但整体趋势仍然符合理论。

## 4. Summary

实验模拟外加周期力的情况下粒子的随机行走现象。

实验可见当外加电场相对大小较大的时候，并且粒子有向着初始方向漂移的趋势。直到因为粘滞阻力效果，粒子最终在某处沿x方向来回周期运动，但在y方向，仍然保持一定的随机性。

在外加电场相对大小较小的情况下粒子主要体现随机运动，在局部有微小的振动。

无论是较小的电场还是较大的电场，随机运动模型下粒子的自相关函数和粒子所受的外力无关，粒子的自相关函数只取决于粒子所受的衰减力的大小。